

L'écoulement d'un fluide incompressible et régi par les EDP suivantes :

$$E1 \begin{cases} \partial_t u + u \partial_x u + v \partial_y u = -\partial_x p + \nu (\partial_x^2 u + \partial_y^2 u) \\ \partial_t v + u \partial_x v + v \partial_y v = -\partial_y p + \nu (\partial_x^2 v + \partial_y^2 v) \\ \partial_x u + \partial_y v = 0 \end{cases}$$

inconnues  $u(x, y, t)$ ,  $v(x, y, t)$  et  $p(x, y, t)$ . On considère un domaine  $\Omega = [0, L_x] \times [0, L_y]$  et un intervalle de temps  $[0, T]$  avec des conditions aux limites périodiques. On choisit une condition initiale.

### 1/ Discretisation temporelle

On considère une discrétisation explicite. Dans un premier temps on utilise le schéma "Euler explicite" d'ordre 1.

$$E2 \begin{cases} \frac{1}{\Delta t} (u^{n+1} - u^n) + N L u^n = -\partial_x p^{n+1} + L u^n & (1) \\ \frac{1}{\Delta t} (v^{n+1} - v^n) + N L v^n = -\partial_y p^{n+1} + L v^n & (2) \\ \partial_x u^{n+1} - \partial_y v^{n+1} = 0 & (3) \end{cases}$$

$$\text{avec } E2' \begin{cases} N L u^n = u^n \partial_x u^n + v^n \partial_y u^n \\ N L v^n = u^n \partial_x v^n + v^n \partial_y v^n \end{cases}$$

$$E2' \begin{cases} L u^n = \nu (\partial_x^2 u^n + \partial_y^2 u^n) \\ L v^n = \nu (\partial_x^2 v^n + \partial_y^2 v^n) \end{cases}$$

Afin d'imposer la contrainte d'incompressibilité on utilise la méthode de projection.

Un champ de divergence non nulle  $\vec{u}^*$  se décompose en un champ à divergence nulle  $\vec{u}$  et  $\vec{\nabla} \phi$  :  $\vec{u}^* = \vec{u} + \vec{\nabla} \phi$

$$\Rightarrow \vec{\nabla} \cdot \vec{u}^* = \vec{\nabla} \cdot \vec{u} + \vec{\nabla} \cdot \vec{\nabla} \phi \quad \text{et on impose } \vec{\nabla} \cdot \vec{u} = 0$$

$$\Rightarrow \vec{\nabla} \vec{\nabla} \phi = \vec{\nabla} \vec{u}^*$$

$$\Rightarrow \vec{u} = \vec{u}^* - \vec{\nabla} \phi$$



## 2/ Algorithme de projection

②

étape 1  
prédiction

$$\begin{cases} u^* = u^n + \Delta t (-N u^n - \partial_x p^n + L u^n) \\ v^* = v^n + \Delta t (-N v^n - \partial_y p^n + L v^n) \end{cases}$$

étape 2  
correction

$$\begin{aligned} \partial \partial \phi &= \frac{1}{\Delta t} \partial \vec{u}^* \\ \partial_x \partial_x \phi + \partial_y \partial_y \phi &= \frac{1}{\Delta t} (\partial_x u^* + \partial_y v^*) \end{aligned}$$

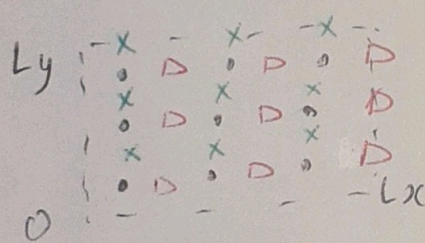
étape 3  
projection

$$\begin{cases} u^{n+1} = u^* - \Delta t \partial_x \phi \\ v^{n+1} = v^* - \Delta t \partial_y \phi \end{cases}$$

ainsi on passe du temps  $t^n$  au temps  $t^{n+1} = t^n + \Delta t$

## 3/ discrétisation spatiale

On utilise la méthode des différences finies (DF ordre 2<sup>nd</sup>)



$$\bullet p \quad \times v \quad \square u$$

$$u_{ij}^n = u(t^n, x_i^f, y_j^c) \quad x^f \text{ face} \quad x^c \text{ centre}$$

$$\vec{\partial} p = \begin{pmatrix} \partial_x p \\ \partial_y p \end{pmatrix} \text{ on l'approche (discrétise) } : \begin{pmatrix} (p_{i+1,j} - p_{i,j})/h_x \\ (p_{i,j+1} - p_{i,j})/h_y \end{pmatrix}$$

$$\vec{\partial} \vec{u} \approx \frac{1}{h_x} (u_{i,j} - u_{i-1,j}) + \frac{1}{h_y} (v_{ij} - v_{i,j-1})$$

$$L u = \frac{1}{h_x^2} (u_{i+1,j} - 2u_{i,j} + u_{i-1,j}) + \frac{1}{h_y^2} (u_{ij+1} - 2u_{ij} + u_{i,j-1})$$

de même pour  $L v$

Pour les conditions périodiques on crée  $IP$  et  $IN$  (à moins et à plus)

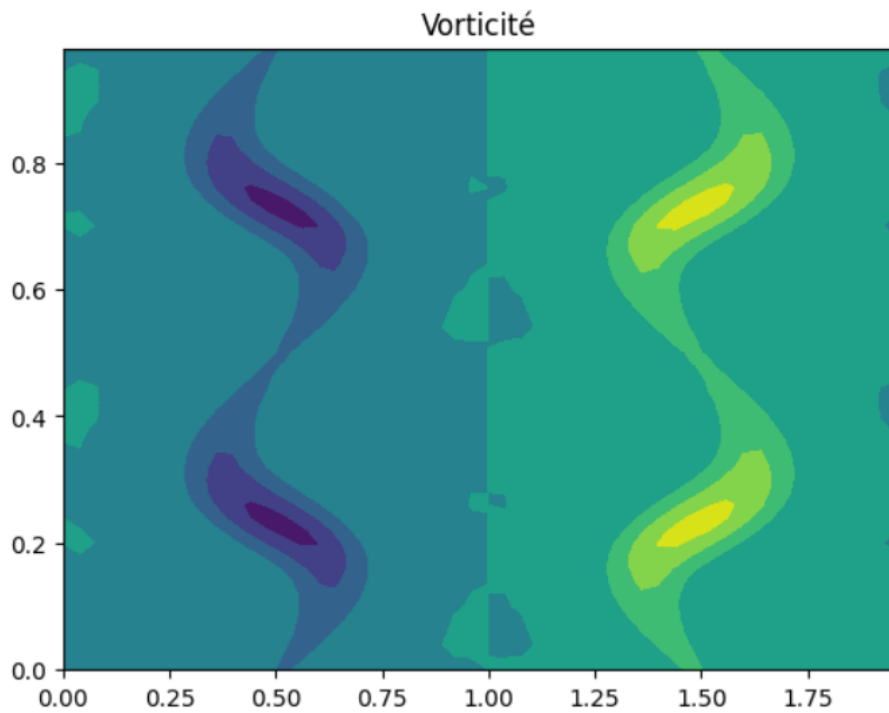
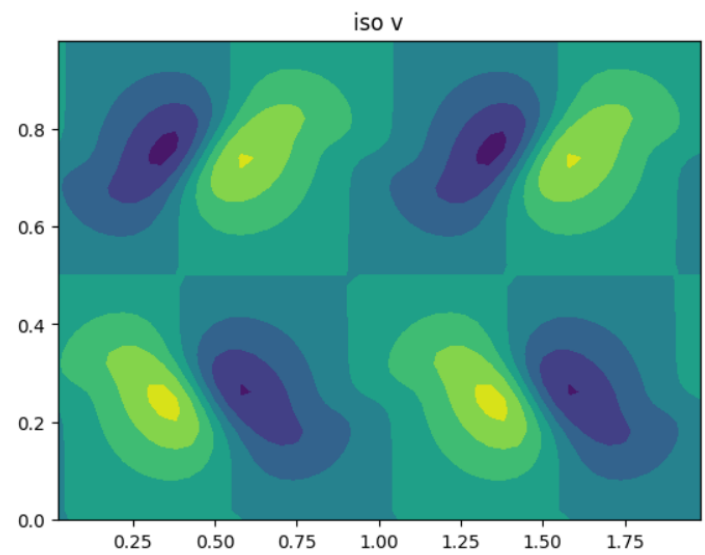
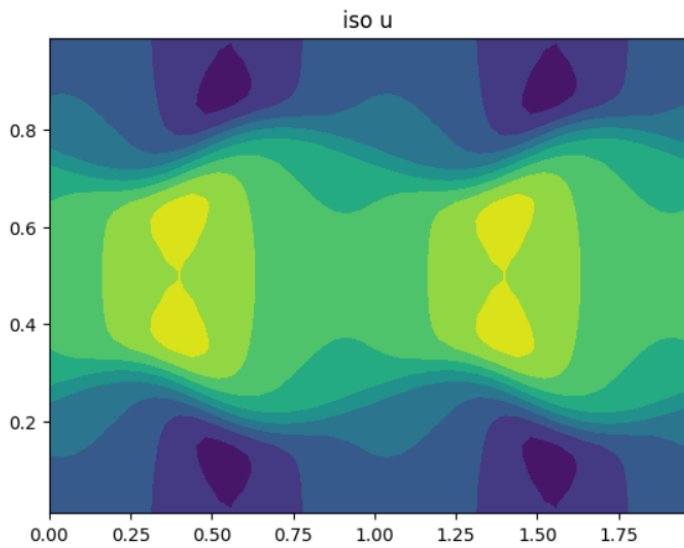
$$IN(i) = \begin{cases} i-1 & \text{si } i \neq 0 \\ n_x-1 & \text{si } i = 0 \end{cases} \quad IP(i) = \begin{cases} i+1 & \text{si } i \neq n_x-1 \\ 0 & \text{si } i = n_x-1 \end{cases}$$

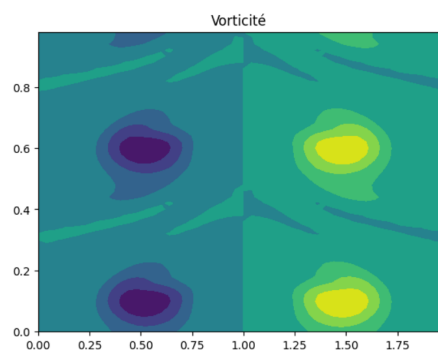
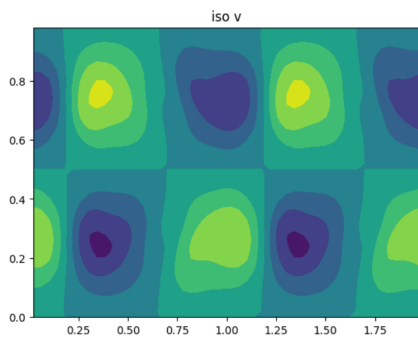
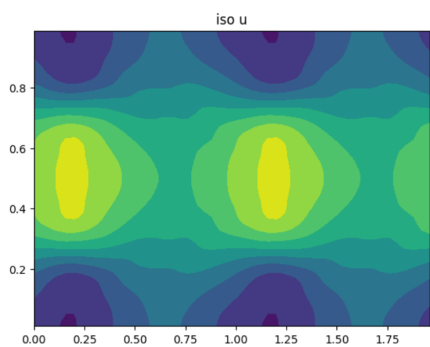
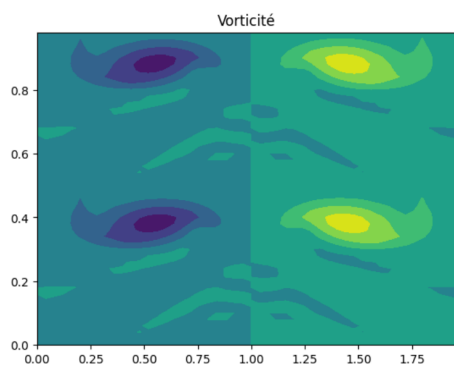
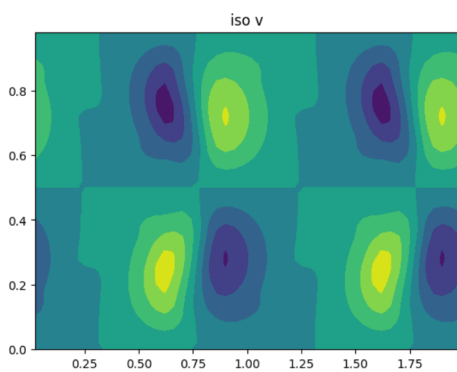
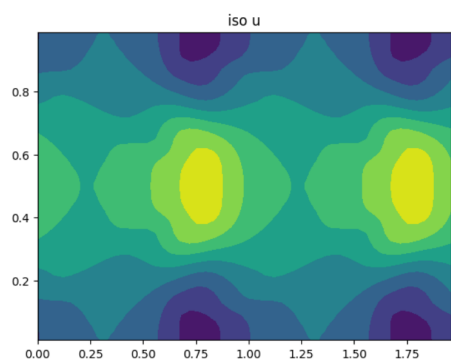
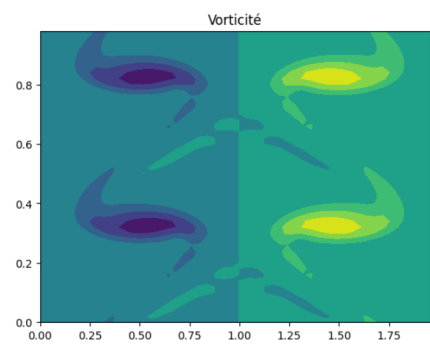
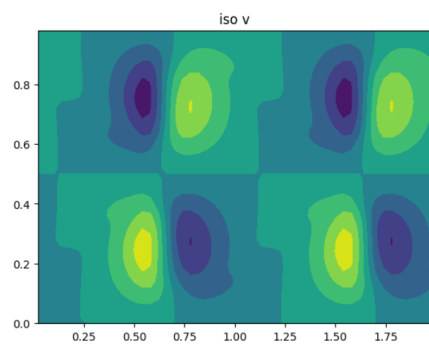
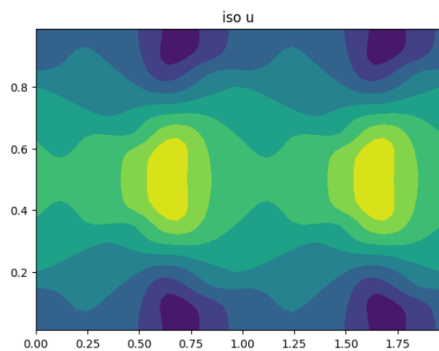
$$N u = u_p (u_r - u_l)/h_x + v_p (u_t - u_b)/h_y \quad \text{avec } u_p = u_{ij}$$

$t$  non top  $\frac{1}{2}(u_{ij+1} + u_{ij})$   
 $b$  bottom  $\frac{1}{2}(u_{ij-1} + u_{ij})$   
 $l$  left  
 $r$  right de même mais selon  $x$



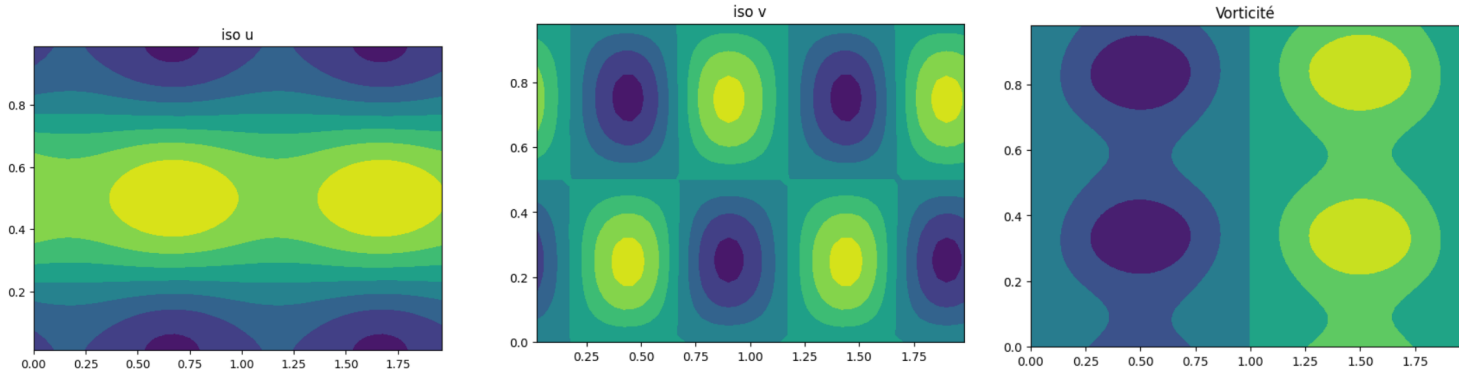
Après execution du code [KH-avec-graph.py](#) on obtient les graphiques suivants respectivement en  $t = 0.45$  ,  $t = 0.85$  ,  $t = 1.05$  ,  $t = 1.85$  (50 points,  $L_x = 2$ ,  $L_y=1$ ,  $\nu = 1e-3$ )



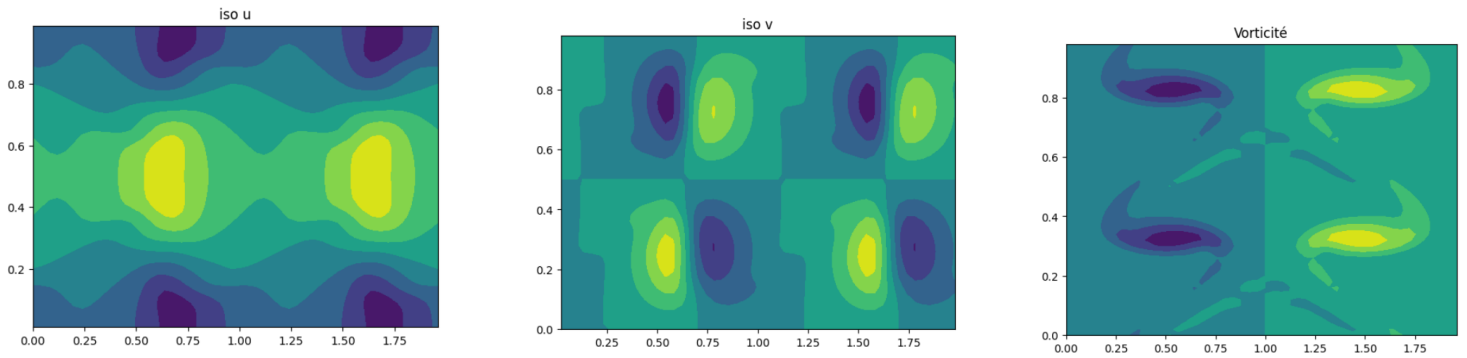


J'ai ensuite essayé de faire varier  $\nu$  ( $t = 0.85$ ):

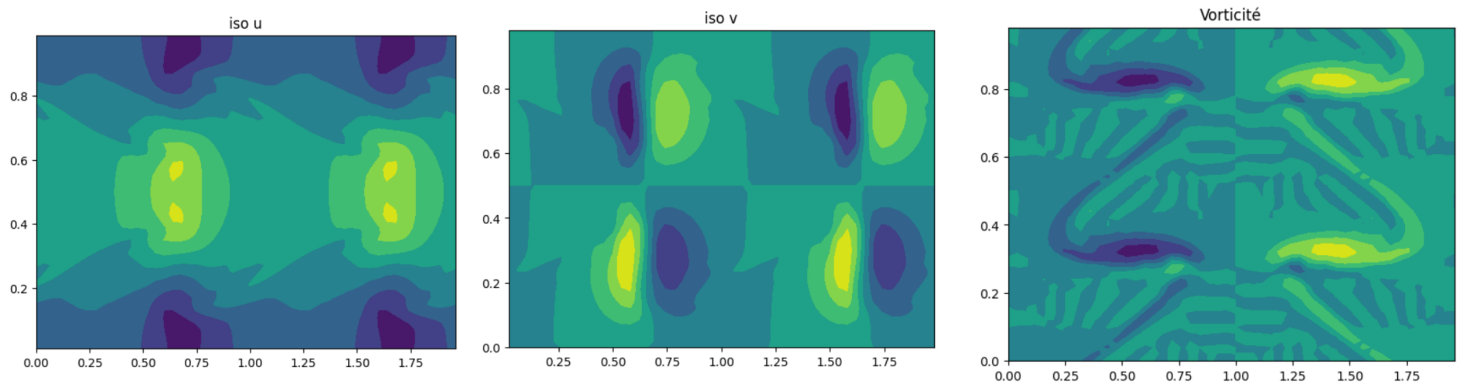
$\nu = 1e-2$



$\nu = 1e-3$



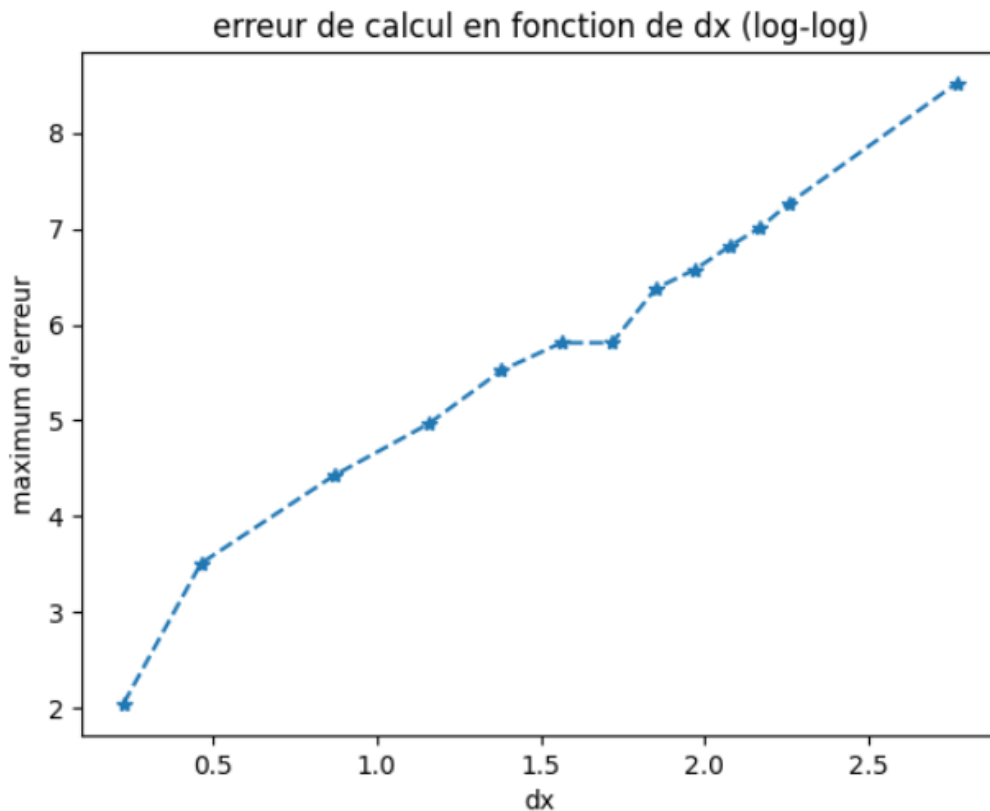
$\nu = 1e-4$



-En ce qui concerne **la précision temporelle**, le Schéma d'Euler explicite est précis à l'ordre 1.

-**La précision spatiale** est à l'ordre 2 ce que l'on peut vérifier avec le code [mms-avec-graph.py](#) (problème stationnaire) en modifiant le nombre de points (cf le graph ci-dessous) .

En effet si on note  $E1$  l'erreur pour un  $hx$  donné on a  $E1 < C * hx^2$ . Soit  $E2$  l'erreur pour  $hx = hx / 2$  :  $E2 < C * (hx/2)^2 = C * hx^2 / 4$  et donc  $E2 < E1/4$  .



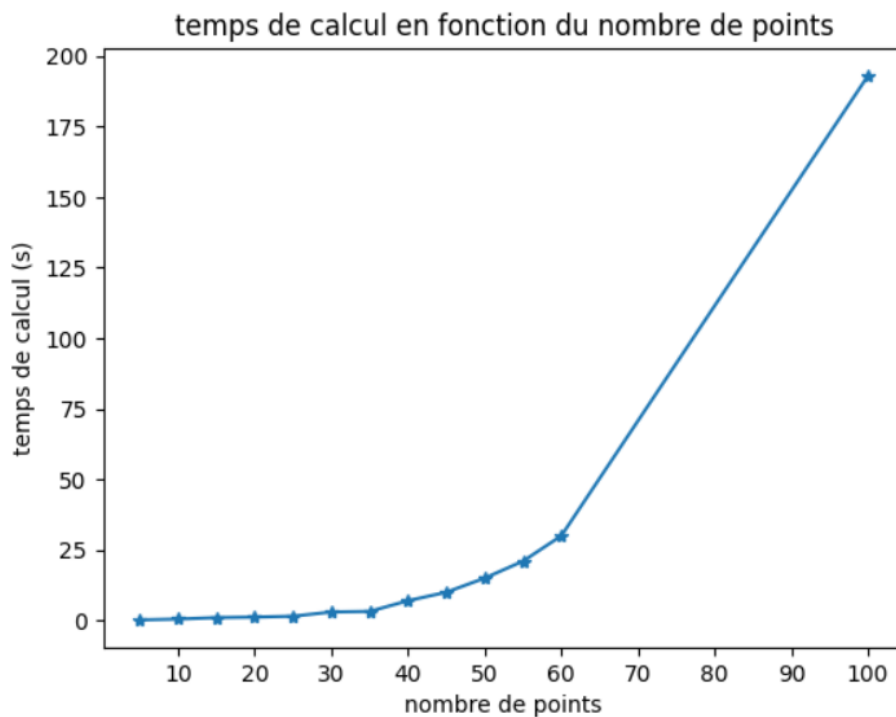
Calcul effectué avec un ryzen 5600g et 16gb de RAM 3200MHz et chronométrés à la main donc la précision n'est pas très bonne pour un nombre de point petit

|              |      |      |       |       |       |       |       |        |        |        |        |        |        |
|--------------|------|------|-------|-------|-------|-------|-------|--------|--------|--------|--------|--------|--------|
| points       | 5    | 10   | 15    | 20    | 25    | 30    | 35    | 40     | 45     | 50     | 55     | 60     | 100    |
| temps<br>(s) | <<1  | 0.5  | 1     | >1    | 1.5   | 3     | >3    | 7      | 10     | 15     | 21     | 30     | 193    |
| erreur       | 0.13 | 0.03 | 0.012 | 0.007 | 0.004 | 0.003 | 0.003 | 0.0017 | 0.0014 | 0.0011 | 0.0009 | 0.0007 | 0.0002 |

Par exemple  $0.03 / 0.007 = 4.285.. > 4$   
 $0.007 / 0.0017 = 4.117.. > 4$

Une façon de vérifier cela numériquement est d'utiliser `numpy.polyfit`:  
`print( np.polyfit( np.abs(np.log(hx)) , np.abs(np.log(e)) , deg=1)[1])` où `hx` est le pas et `e` est l'erreur. On obtient alors le coefficient directeur de la droite de régression linéaire 2.21... et on confirme l'ordre.

- Le temps de calcul croît de plus en plus quand on rajoute des points (`mms-avec-graph.py`) .



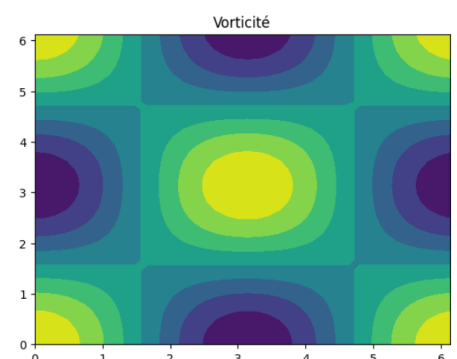
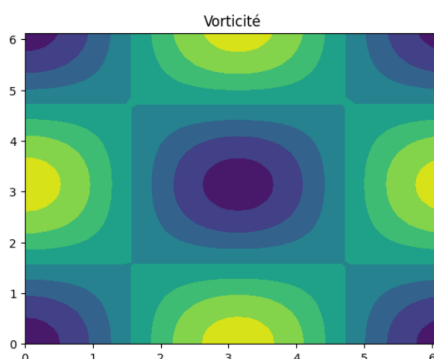
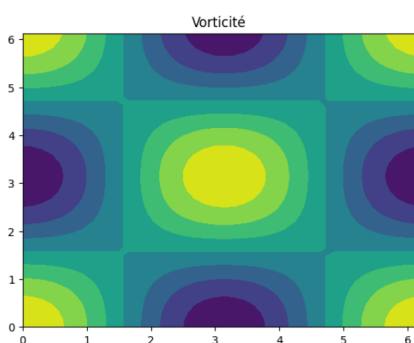
- Pour illustrer la stabilité j'ai testé des CFL différentes et à partir d'un certain temps la solution numérique diverge pour si `dt` n'est pas assez petit :

$dt = 0.25 * hx^{**2} / nu$  , problème instationnaire , stable (CFL)

$t = 5.2$

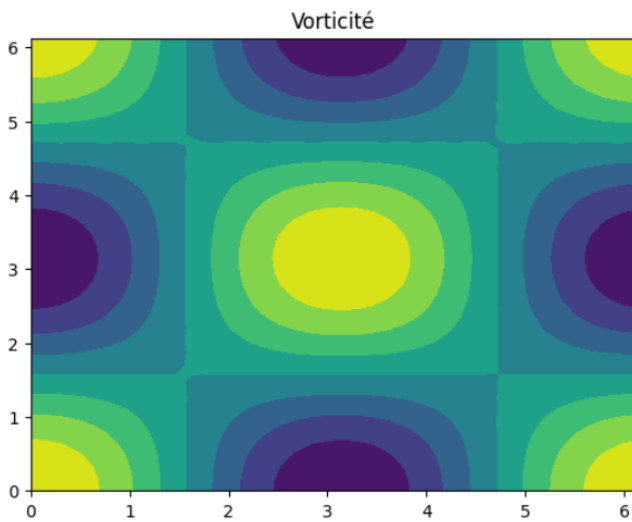
$t = 10$

$t = 12.5$

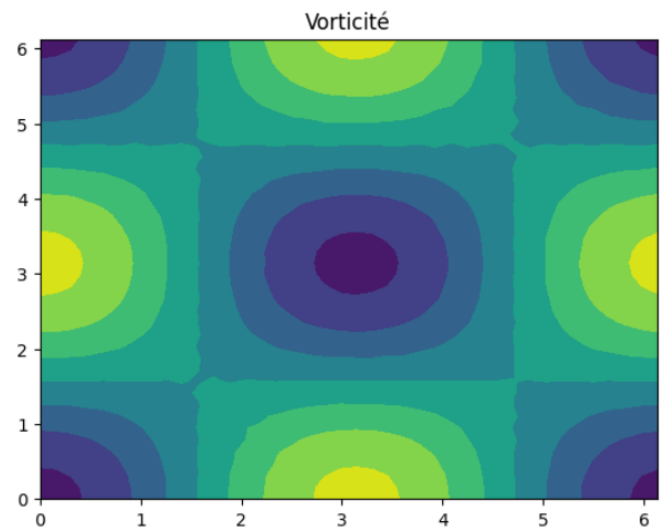


$dt = hx/nu$  , problème instationnaire , instable

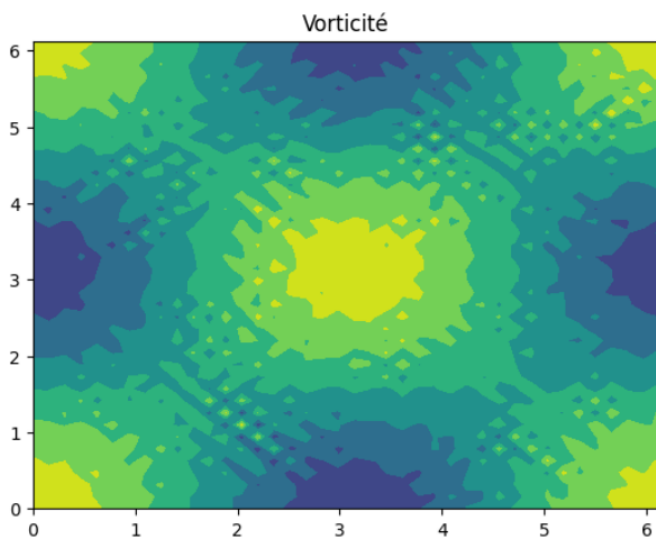
$t = 10$



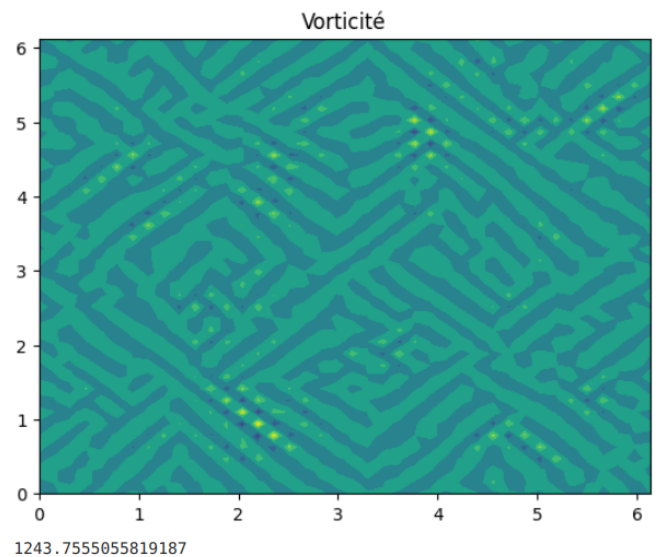
$t = 12.5$



$t = 12.8$



$t = 17$  (erreur très grande)



Enfin j'ai implémenté le schéma d'Adams-Bashforth (explicite a deux pas et d'ordre 2) pour la discrétisation temporelle dans le fichier **mms\_Admas\_Bashforth**